

認識問題としての二値化と各種方法の検討

森 俊二 大津展之
(電子技術総合研究所)

はじめに 対象とするパターンの持つ情報がその形にあり、濃度の微妙な変化にはないような比較的単純な場合には、画面全体をまず二値化することが、それに続く処理の簡略化ばかりではなく、対象を切り出すには強調するという意味においても、非常に重要である。実際、文字読取装置では、二値化が必ずといってよいほど行なわれている。しかし、この問題は最っとも良く利用してくる文字認識技術の分野では、Bartelsの論文以外ほとんど正面から取り上げて議論されていない。一方画像の方では、この問題は比較的良く取り上げられて、今まで種々の手法が発表されてきている^{2, 3, 4, 5, 6, 7, 8, 9}。多分この様な状況は、文字の場合には、濃淡がほつきりしていける対象を選べる事と、オービゲンアルゴリズムに研究の興味があることなど、それに実用装置を作る立場からすれば二値化の前処理はできるだけ単純にすませる必要のある事が原因になっていると思われる。勿論上述の事は一般的の傾向を示すもので、郵便番号読取機などは例外である。一方画像の方は自然に手えられるものが多く、しかも、すく認識のオーステップとして対象を切り出すことが重要な課題となるので、二値化問題は技術的にも学問的にも取り上げられてきたと思われる。しかし文字認識技術の分野でも、認識アルゴリズムがかなりの水準に達してきた、それと共に必然的にかなり自由な対象を処理する事が要求されるようになってきた。また使用用紙にしても必ずしもOCR用紙でなく上質紙の使用がユーザーから要求されるようになってきた。この様な背景から、一番最初に問題になった二値化の問題に回帰する必要に迫られたのである。しかし再びこの問題に帰って見ると、それは認識の本質的問題と深いかかわりある持ち困難な問題である事があらためて認識にせられる。

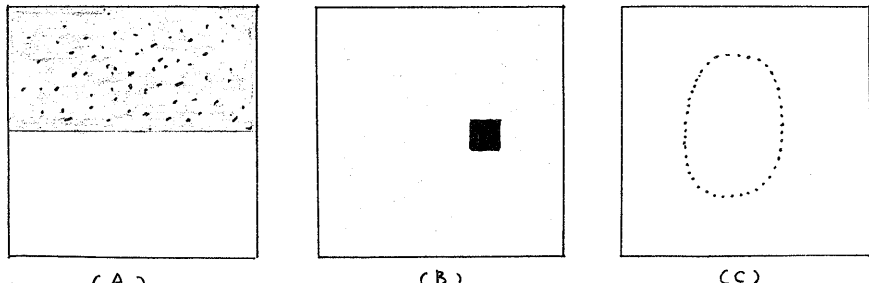
以下、文字、画像データ(線図形)を対象として、二値化問題を認識問題として見直し、今まで開発された手法を含めて、二値化手法の総括的な検討を試みる。

§1 認識問題としての二値化

対象画像を二値化する問題は基本的には認識の問題になる。具体的には画像全体から対象を黒地として認識し、これを背景から分離する事、各点の濃度により画像全体を黒地(1)、と背景又は白地(0)の二つのクラスに分離する事である。通常各点の濃度をある一定の閾値で切って1か0に分ける事が行なわれているが、必ずしも各点の濃度のみによって、1, 0に分ける必要はない。要は各クラスを分離する特徴が適当に選らばれれば良い。この特徴の選択は本質的には主体者としての評価の立場から選らばれるものである。この二つのクラスを分離する特徴として最っとも明らかものは、その濃度である。最高濃度の点は黒なのであり、最低は白であることは自明である。したがって濃度分布を取り、その谷を見出しどクラス分けすることがよく行なわれている。しかし同一の濃度分布を持つが異なる閾値を必要とする二つの画像を容易に構成できる。

この例が图1に示されている。単純のため、3レベル画像で考えていいがA図の閾値とB図の閾値は明らかに異なるのである。この場合には、黒地の特徴として「平坦」というものがみるということを前提としている。A図の場合、白地の

特徴としても「平坦」がある。この場合は、両方がその特徴として持つ「平坦」を充分持つように閾値は取られる。



オ1図 同一の濃度ヒストグラムを持つ閾値の異なる三つの画像。しかしBとCの閾値は等しい。

しかし、Cの点とAのそれと異なるのは、Cのそれは規則的であり、Aのそれはランダムであるという事である。この場合には、黒地の特徴は単なる local feature だけでは検出されないと云ふことであり、この例は閾値選択の問題がいかに高次の認識と関係があるかも良く示している。この様に、対象を二値化して、主体者が求めらるものと切り出すには、主体者の切り出されるものに対する評価が必要である。実際もしその様な評価法が存在するとしたならば、その評価が最大になる様に、閾値を決定する事により、最良の二値化法が得られる事になる。したがって正しく評価法を得る事と正しく二値化法を得ることとは同一の問題となる。しかしこの評価の問題は本質的に重要であるが、一般的に取り扱うのには極めて困難な問題である。一般的に取り扱うとすれば、必然的に単純化を要する。具体的に取り扱うとすれば、問題の限定が必要となる。ここでは前者の例として判別分析の立場による評価法を、また後者の例としては、印刷文字の面積の分散評価、それに線図形に対するものとして連結性を評価する方法を具体的に述べる。しかし印刷文字以外については、それらの評価法を用いての各方法の比較は行なっていよい。それには自分の評価法を使用して比較評価すれば必然的に自分が一番良くなる評価とはならないが、シレンマがあるからである。それ故、それぞれの評価法はそれぞれの評価による閾値の選択法というとに留めている。

§2 特徴抽出とヒストグラム

先にも述べた如く閾値選択の最も自然な方法は濃度ヒストグラム法である。これは一次元の特徴軸として濃度を用いたものである。より一般的には、特徴軸を濃度ばかりではなく、他の特徴軸、例えれば河田等によつて試みられて微分値を取ることが考えられ、多次元特徴空間上でのノックラスの分離問題として考察することができる。従来のヒストグラムは、この特徴空間の濃度軸への周辺分布(射影)と考えられる。この濃度軸の分布が理想的にクラスター化されなければ、閾値は容易に求めることができる。しかし、わかつて必ず明瞭に出るとは限らず、この軸へのある他の特徴の射影分布を取ることにより、この軸上のノックラス化を顕著にすることが考えられる。ここで具体的に考えるのはこの問題である。

さてここで注意しなければならないのは、これらの特徴は必ずしもノックラスを代表するものである必要はない。ノックラスの中間を抽出するものであつ

て良い。この様に濃度軸へ射影する特徴は通常の特徴抽出の如く、必ずしも片方のクラスに近く、片方のクラスにあるといったものでなくとも良い。注目する特徴が各クラスの中間にない、又はこの逆の条件が必要である。我々は二つのクラス分けの問題を考えているのであるが、しかし具体的には、二つのクラスとその中間クラスという三つのクラスを頭にあかなければならぬ。具体的には、ここでは例えば次のような local feature を取る。即ち 3×3 の真中の濃度を P とした時 8 方向の濃度 $N_i (i=1 \sim 8)$ との関係による特徴である。この特徴は大きく分け次の如くなる。

極大；極小	$P > N_i ; P < N_i \quad i = 1 \sim 8$
傾斜	$N_i > P > N_j, N_i \approx P > N_j, N_i > P \approx N_j \quad i \neq j$
平坦	$P \approx N_i \quad i = 1 \sim 8$

ここで傾斜に注目したのが、坂井；長尾；渡辺；らによるものである。また Weska-Rosenfeld の方法は Laplasian の大きな点での濃度分布を求めるものであり、基本的には 3×3 の local feature を用いて、濃度分布を改善する一つの方法である。

3. 閾値の決定とヒストグラム

上述の如く、濃度軸上での各種特徴ヒストグラムが得られた時に、最後に閾値を求める方法が問題となる。いわば誤識機構といえれば決定論理の所に相当する。もしここで正しい評価閾数が上述の特徴の閾数として、ということは未知数である閾値の閾数として分、いろいろならば、その最大化をはければ良い。しかしこの様な一般的スキームによる方法とは別に、通常より単純な方法が使用されてきた。その中でも最も簡単なのは分布の range から median を求める方法、それから濃度分布の平均値を求める方法、特にある固定の白地 level 以上の点について平均値を取り、これを利用する方法が Barto によって提案されている。これらの方法は比較的簡便で、文字読み取り装置につけて使用されている。一方、濃度分布での又は改善された濃度分布での、二つのクラスターの中間点としての値を求める方法が、画像処理などで広く使用されてきた。一方特徴として差分をとり、濃度軸での差分値の総体的大さを取り、丁度クラスターの中間点で最大値を与える事を期待しての方法が渡辺の方法であろうが、要するに閾値点でヒストグラムが最大になるようにヒストグラムを構成するのである。

先に述べた一般的スキームとしては、濃度分布を二つの正規分布の和と仮定する Kaneko らによる統計的決定理論による方法があつたが、考証方は単純でもかなり計算が大変である。一方、これに対して大津による判別分析を用いる方法があるが、これは計算がかなり単純であり、分布の形によらず、ほとんど一意的に閾値が決定される。

これら二つの決定法の比較で注意しなければならないのは、これらの方法の手續上の簡単さもさることながら、それらの方法の一般性である。たとえば濃度レベルの全体的変動に対し、また黒地の面積変動、濃度勾配の変動、雑音の変動等により閾値が求められることが望ましい。この意味では分布の最大点、または一般には評価閾数の最大値を求める方法は、データに対するパラメータを調整する必要がなく望ましいものである。しかしこの場合、最大点が一意的である事が必要である。これに対し、たとえば Barto の如く $T = \alpha(\text{平均濃度}) + \beta$ として、 α, β を調整する方法は、データオリエンットであり、特定のデータに対する有効下であるが、一般性という意味では劣る。しかし使用者が問題とするデータ

に対して、非常に有効な α , β が決定できれば、その範囲では十分意味のあるものである。

3.4 各種の方法

上述の如く、われわれは、いわば特徴抽出に相当する濃度を軸としてヒストグラムと、それに基づいて閾値を決定する論理とを分けて考える。したがってヒストグラムとして濃度分布を取るならば、その median を使って閾値を決める方法、適当な平均値を求めてその一次式として閾値を決める方法、そして分散を考慮した判別分析による方法と統計的な手法の簡略なものからオーネックス法まである。一方、分布の谷を取ると、上述の統計的手法とは直接関係のない直観的方法がある。

我々が行なった各種の方法について、上述の立場から作った手法エトリックスは次の如くなる。

(median法, 平均一次式法, 平均高次式法, 平均化法, 判別分析法, 谷検出法, 变曲点検出法, 最大点法) (濃度分布, 平滑濃度分布, ラブラン濃度分布, 差分分布, 傾斜分布, 極平坦分布, 連結性評価分布)^T

以下、これらの手法を簡単に説明する。まずヒストグラムより始めろ。濃度分布は今までに説明した如くである。平滑濃度分布は河田らの論文によるもので、その論文で良いと述べられており濃度一微分平面での閾値線 L_2 を採用したものであるが、実効的には平滑化して濃度分布を取るに等しいので、こう名づけた。ラブラン濃度分布法と、Weska, Rosenfeld によるものであり、すでに説明した。差分分布は渡辺によるもので、すでに説明した如くである。傾斜分布法は、上述の渡辺の方法のバリエーションであり、上述の計算の際、極大および極小点を除いて総和を求めるものであり、実効的に濃度勾配の傾斜部に注目するものである。極平坦分布は極大(小)点と平坦点の分布である。正確には、

$$N_i \leq P \quad \text{or} \quad N_i \geq P \quad i = 1 \sim 8$$

を満足する点の濃度を軸とした分布である。

連結評価分布は 3×3 のウインドウで閾値で切ったとした場合の 1, 0 の連結性の度数と、非連結性の度数の比を求めるものである。ここで連結性とは 8 方向のいずれかに 1 が存在すること、非連結性とは自分自身は 1 であるがまわりに 8 の白がある場合、4 のウェイトをかけて数える。また自分自身が白で、周囲に 1 が 8 ヶあれば同様に 4 のウェイトをかけて数える。

閾値決定法については、すでに median 法、平均一次式法 ($\alpha\bar{x} + \beta$) は説明した。平均高次式とは具体的には、

$$T = \alpha(\bar{x} - Tw)^4 + Tw \quad ; \quad Tw \text{ は白地の閾値} \\ ((\text{濃度レベル}) \leq Tw \text{ は白地である})$$

Bartsch の論文ではこの Tw は固定していたが、極平坦分布法では、これを以下に述べる変曲点検出法で自動的に決定している。平均化法とは、 Tw はエリクソン白地部分に分けられるので、それらのクラスターの中心、すなわち平均値 m_1 , m_2 を求め、 $T = \frac{m_1 + m_2}{2}$ にて閾値を決定するものである。

それ故この方法は暗に、白地の閾値を決定することが含まれている。具体的問題ではたゞ之は白地を前もって走査していくといった方法で知ることが可能である。しかし、我々の使用したデータではこの様な事はしていないし、また後下述する如く文字濃度より白地のレベルが変化してるので、白地の走査と方法で白地の閾値は決定できない。

判別分析法は前述した如く大津によるものでクラスターの級間分散と級内分散の比を、最大ならしめるように閾値を設定する方法で、分布の全体的形により安定に閾値を決定するものである。

谷検出法は分布の谷を閾値とするものである。変曲点検出法とは分布において、凸から凹への、また凹から凸への変化点を閾値とするものであり、これは極平坦分布法で使用された。最大点法とは、単純に分布の最大点を閾値とするものである。

3.5 実験データ

実験データは線図形的なものを対象とした。それは大きく分けて文字データと画像データである。文字データは印刷文字と手書き文字に分けられる。

文字データ：印刷文字

使用回数 0, 10万, 20万, 30万, 40万, 50万回のリボンを使用した時の ISO B フォントの英数字印刷文字。

観測装置はビデコンスキャナーで実効レベル数は 11, 64×64。

白地は 3 レベルの変動あり。

データ数 $3^3 \times 6 \times 10 = 2220$ ケ

：手書き文字

古いボールペンによる手書き数字。実効レベル数、クレベル、 64×64 。

データ数、200 ケ

画像データ：Phil Brodatz の Texture の写真集

D 3 ; Reptile skin

D 6 ; Women aluminum wire

D 22 ; Reptile skin

64 level, 64×64 を切出して使用。ドラムスキャナー。

3.6 実験結果

まず注意しなければならないのは閾値の実際のとり方である。level > T と採るか level \geq T と採るかの二つの取り方がある。この場合は習慣に従って ' $>$ ' を採用した。したがって T- α と α 調整を導入するとき、 $\alpha=1$ は ' \geq ' を採用した場合を考える二種が下さる。

3.6.1 印刷文字：

面積の分数平均（カテゴリ毎の平均の平均）を表す表に表わす。この評価によれば、平均一次式法が一番良い。これは白地の閾値をぎりぎり高めに一定に取ったためである。これは未定とした他のものでは平均高次式法が一番良い。これは線巾を一定にしておいた非線形効果が利いてる。なお、この面積を一定にしておいた閾値を制御した他の方法では、この値は 74 となり当然ながら一番良い。特に問題となる M のような複雑な文字の面積を組って制御しているので、たゞ之は「M」文字の面積分散は 27 で、他のものと比べて負けた以上も良く、この基準の直接

利用の効果が利いている。なお()つきのものは閾値が決定不能 (UDのヶ数を示す)である。たゞ、2ビット以上の切れ、10ビット以上のしきなどは、50万回以上の文字に若干見られるもので、実際は分散も大きいが、定性的評価をこれ以外のものに比べて悪い。この点、ひんやりな濃度分布より閾値を決定する判別分析法はこの場合効果的に利いている。差分分布法は印刷文字では多くのデータで閾値が低くできるので、こゝに載せることができるなかった。

median 濃度分布	平均一次式 濃度分布	平均一次式 極平坦分布	平均高次式 極平坦分布	判別分析 濃度分布	谷検出 濃度分布	谷検出 平滑濃度分布	最大点 傾斜分布	変曲点検出 極平坦分布
290	120	236	153	296	UD2 (346)	UD4 (369)	(387)	240

第1表
各方法の面積分散平均による評価表

3.6.2 ポールヘンによる手書き文字

このデータは非常に厳しいもので、いずれの閾値を探しても、しきや切れは避け難い悪いデータが含まれている。しかし実用的な閾値法としてはそれでも、なお、できるだけ人間の選ぶものに近いものを切り出すことが要求される。この評価は人間によった。人間が選んだ閾値範囲からはずれた閾値を与えるデータ数が表2に載っている。なおパラメータの調節を必要とするものは、印刷文字で学習したものとそのまま使用している。

この場合、方法の割には良い結果を与えていたmedian法は悪くなる。
medianそのものの ($T = median - 1 \Rightarrow T = median$) を使っても改善されない。印刷文字で悪かった差分分布法は今度はかなり良くなる。しかし傾斜分布法はあまり良くない。差分分布法を批判して、その改良として提案されたラプラス・シアン法は、この種のデータではかって比較的に悪くなる。(平滑)濃度分布法で谷を見る方法は良くなが、判別分析を適用するとほゞ $\frac{1}{2}$ に減少する。またこれをラプラス・シアン濃度分布に適用するとほゞ $\frac{1}{3}$ に減少する。この様に判別分析法が谷の不明瞭なものに対する効果あることと、分布が下くなると同じ判別分析法でもやはり分布の良いものが良い事が示されている。

全体的に見て極平坦分布による平均的な閾値決定法と連結評価法が非常に良い結果を与えている。しかし連結評価法はこのデータを学習データとしている。

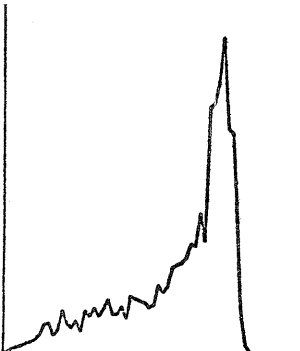
median 濃度分布	平均一次式 極平坦分布	平均高次式 極平坦分布	平均化 濃度分布	判別分析 濃度分布	判別分析 ラプラス・シアン 濃度分布
55	0	0	35	67	32

谷検出 濃度分布	谷検出 平滑 濃度分布	谷検出 ラプラス・シアン 濃度分布	谷検出 差分分布	最大点 傾斜分布	最大点 極平坦分布	変曲点検出 極平坦分布	最大点 連結評価法
108	91	58	10	45	10	0	

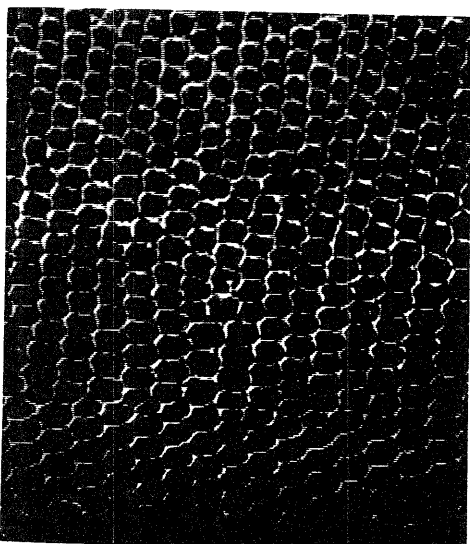
第2表
各方法の人間による評価表

3.6.3 画像

そのひづかしさから3種類のものを使った。D22はやさしく、D3は中くらい。D6はかなりむづかしいデータである。D3の写真とその濃度分布が第2図a, bに示されている。各種の方法が選んだ閾値と、人間の選んだ閾値範囲が第3表に示されている。斜線はこの方法では求め難いことを示し、X印は二値化結果がかなり悪いことを示している。第2図に示す如く、64 level では、分布ががたつき、谷や変曲点などが求め難い。それ故レベルを16に縮約した場合を試みた。それが64 level 演算と同じ第3表に示されている。(平滑)濃度分布で谷を用いるものは良い結果を与える。差分法は文字の場合と同様、済の良いデータに対するよりも済の悪いものに対する方が良い。また判別分析は悪い濃度分布に対しても有効に働くことが示されているが、D6に対する結果は悪い。これは一つには、そもそもこの画像は4つのレベルを持つので、これが原因であるかも知れない。比較的良い結果を与えてているのは傾斜分布法と連結評価法である。しかし、連結評価法は、端点を少し悪いと評価になってしまっている。その他は印刷文字でセットしたパラメータを使用している。最後に第2図cに白黒を反転させたD3の二値化したもののが示されている。これは人間と傾斜分布、連結評価法が選んだ閾値を使っている。



第2図 (b) 濃度分布



第2図 (a) D3 の写真

	人間	median 濃度分布	谷検出 濃度分布	谷検出 平滑 濃度分布	谷検出 ラプラス 濃度分布	判別分析 濃度分布
64	D3 32~35	26	/	/	/	29
D6	12~14	22	/	/	/	29
D22	28~32	24	/	/	24	25

	人間	median 濃度分布	谷検出 濃度分布	谷検出 平滑 濃度分布	谷検出 ラプラス 濃度分布	判別分析 濃度分布
64	D3 32~35	26	/	/	/	29
D6	12~14	22	/	/	/	29
D22	28~32	24	/	/	24	25

	人間	median 濃度分布	谷検出 濃度分布	谷検出 平滑 濃度分布	谷検出 ラプラス 濃度分布	判別分析 濃度分布
64	D3 32~35	26	/	/	/	29
D6	12~14	22	/	/	/	29
D22	28~32	24	/	/	24	25

	人間	median 濃度分布	谷検出 濃度分布	谷検出 平滑 濃度分布	谷検出 ラプラス 濃度分布	判別分析 濃度分布
64	D3 32~35	26	/	/	/	29
D6	12~14	22	/	/	/	29
D22	28~32	24	/	/	24	25

第3表 画像に対する種々の手法の比較

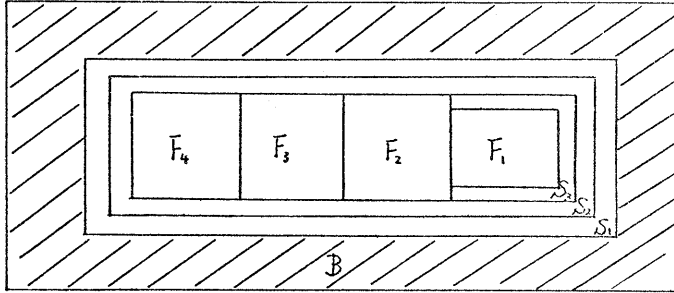
	人間	median 濃度分布	谷検出 濃度分布	谷検出 平滑 濃度分布	谷検出 ラプラス 濃度分布	判別分析 濃度分布
64	D3 32~35	26	/	/	/	29
D6	12~14	22	/	/	/	29
D22	28~32	24	/	/	24	25

第2図 (C) D3 の二値化

37 モデルによる考察

問題が単純であれば、どんな方法でも良い結果を与える。そこで我々が興味があるのは、困難な問題に対してもうかのかということである。しかもこの困難な問題といふのは、実際によく起り得る場合でその解決が実用的意味があるのが望ましい。この様な意味での困難な問題として、上述のデータから、そして種々の方法による Pilot experiment からオ 3 図の様なモデルを作った。直観的にこのモデルは、“線のむらによる困難”な問題のモデル化になつてゐる。実際、具体的データであるオ 4 図(a)を見られれば、このモデルがこの様な具体的問題を反映していることがわかる。またこのモデルによる濃度分布を確率パラメータを調整することにより現実データのものと似たものが得られる。これがオ 4 図(b)(c)に示されてゐる。

さて我々の目的は、ある方法が与えられた時、それがどのようないくつかのモデル集合で悪い結果を与えるかを知る事、それによってその方法の性質を明らかにすることである。しかし、方法といつても組合せになつていて、全ての組合せ方法について調べる事は、大変なので、ここではその典型的な例を拾つて述べる事にする。まず濃度分布から取り上げる。



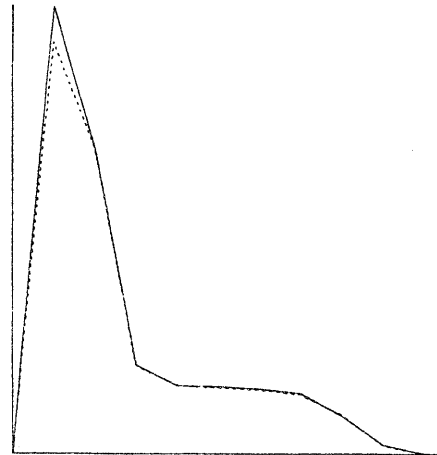
オ3図 線のモデル

B : Background, 例えばレベル 0, 1, 2, 3, を P₀, P₁, P₂, P₃ などとす。

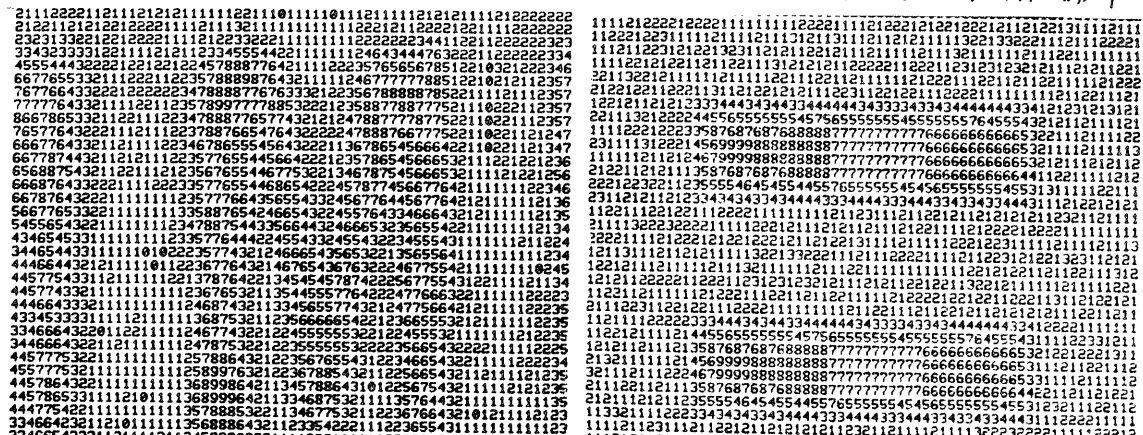
S : Slope, 例えば S₁ でレベル 3, 4 を P₃, P₄ などとす。---

F : Flat, 一般に F_n は F₁ ~ F_n のブロックに分割される。

これらのブロック内では、レベルは一定の値を取る。



オ4図 (C) 観測パターン(a)実線とモデル(実線)の濃度分布



(b) モデル

統7.1 濃度分布

統7.1 median法：この場合は考察が比較的簡単である。平坦部の最大レベルを $\max F$, 白地の最小レベルを $\min B$, 傾斜部の最大を $\max S$ とすれば, $(\max F + \min B) / 2 > \max S$, $< \max B$ の場合にそれされ, だけ, (み)の雜音が現れる。

統7.2 平均化法；この場合は容易にわかる如く, median 法を緩和した方法になつてゐる。直観的に言って少數の点が高くても平均としては利かずからである。したがつて median 法でだめな場合がこれで克服されることがわかつ。しかし平均化法が全ての点で median 法に勝るとは必ずしも言えまい。これについては後述べる。この方法で悪い場合を考へる。また國値が低すぎる事が起るかどうかを見る。そのため白地では $\max B + \min B$ の二つのレベルを考へ平坦部の面積がレベル 5 の巾 W の線の場合を考へる。 S_1 はレベル 3, S_2 はレベル 4 とし十分細長いとすれば黒地の平均値 $(4+5W)/(4+W) \equiv \bar{B}(W)$ で与えられる。このとき,

$$\frac{\alpha \min B + \beta \max B + \bar{B}(W)}{2} < \max B ; \quad \alpha + \beta = 1 \quad \alpha, \beta \leq 0$$

が成り立つとき, 國値が低すぎる事になる。 $\min B = 0$, $\max B = 2$, $W = 1$ とすれば $\beta < 0.1$ のとき上式は成立する。すなわち白地の 0 が 90% 以上のとき白地に 10% 以下のノイズが現れる事になる。

一方高すぎる場合のモデルとしては, まやく分る如く, 黒地の平均値は傾斜部分が低める様に働く, そこでこの傾斜部分がなくなつた場合どうなるかを見た。しかも平坦部分は $\max F + \min F$ のみとする。また白地は $\max B$ のみとする。このとき

$$\frac{\alpha \min F + \beta \max F + \max B}{2} > \min F$$

の条件が成立するとき, 國値が高すぎる事になる。たとえば $\max F = 0$, $\min F = 5$, $\max B = 2$, $\beta = 0.9$, $\alpha = 0.1$ としたとき, $T = 5.7 \sim 6$ となり 10% の欠が生ずる。

上述の場合はかなり極端な例で, 実際のほとんどの起つた場合は黒地の中間レベルがあり、より低く黒地の平均値は決まる。しかし文字の場合など、片うちの様な場合、上述の様な事が十分起つた場合、ともかく、白地國値が既知という条件はあるが、この平均化法はかなり有効な方法である。

統7.3 谷の検出；この場合は明らかに、悪い場合は谷が消えることである。この谷の消滅は上述のモデルから容易に構成できる。すなわち傾斜部分の面積が平坦部分の面積より大きくなれば起つた場合。

上述のモデルで背景レベルが 2 で S_1 のレベルが 3, S_2 が 4 とし W が全アレル 5 とする。この時 x の矩形を $\alpha \times b$ とすれば近似的に $x+y > \frac{1}{2} xy$ のとき谷は消滅する。さて y が $(\alpha_1 + \alpha_2 + \alpha_3 + \dots + \alpha_n)W = W$, $\alpha_1 > \alpha_2 > \dots > \alpha_n$, (α_n に相当する領域が最高レベルを持つとする) を満足するように連続ある n ヶのレベル領域に分割されるとき、最大の面積は $\alpha_1 W$ である。このとき、 $x+y > \frac{1}{2} \alpha_1 W$, のとき谷は消滅し、 $W = x \times y$ で α_1 は 1 より小さないので、この様な分割が起つると、より谷が容易に谷が消えやすくなることが分かる。一般には線状の黒地であればこの現象は容易に起りやすいと“うこと”が分子。このモデルは現実のものとよく合つている。

統7.2 差分分布

この方法は上述の濃度分布の谷が消滅するような場合、すなわち平坦部分の面積が小さくなる場合でも edge の値を取つていいので、無関係に最大値が決まる点でやぐれてしまう。しかし一つの問題点は、白地の領域が広く、しかも雜音が多い場合、白地に Peak が出る可能性がある。たゞ之ば白地レベルは 0, 1 のみとし、それが等確率とする。白地の面積を W とすれば、自分より低い場合を取る D^+ の場合の D^+ の期待値は $\frac{1}{4} \times 0.5 W$ である。一方黒地の方の面積を B とし、矩形の縦横の比を $10:1$ (印刷文字の場合この程度) とする、周長は $2\sqrt{10}\sqrt{B}$ ($1+0.1$) $\cong 2\sqrt{10}\sqrt{B}$ となる。今こゝで差分法に有利に考へて、黒地部は S 領域はなしとして、平坦部のみとし、しかもそれが一様の高さ m を持つ急峻に下に落ちていいとする。そのとき、この端 m レベル 点で白地への落差は最大 m で最小 $m-1$ である。そこでこれも差分法に有利に m と置く。差分に利くのは端の片方の 3 方向のみである。総面積を A とし、白地との比を r とすれば $W = rA$, $B = (1-r)A$ となる。この時、白地の peak が大なる条件は、 $\frac{\sqrt{A}}{m} \cdot \frac{r}{m-r} > 3\sqrt{10}$ で与えられる。 $r=0.5$ とし、 $A=60 \times 60$ とすれば、 $m \leq 4$ のとき上式は満足する。それ故上述の現象は実際のデータで十分起り得ることがわかる。

さて一方、白地にノイズがなまとしてても、上述のモデルで平坦部が $m, m-1$ の 2 レベルでそれ α, β の比でランダムに存在していって、 $\alpha > \beta$ のとき m レベルが閾値になる可能性がある。すなわち D^+ 分布では最高レベルのところで Peak になる。 D^- では白地レベルのところで最高値を示す。それ故渡辺が彼の論文で述べていい如く、この平均をとることが考えられ、実際この悪い場合は容易に回避できる。

次にこの方法が問題にはるのは Weicka - Rosenfeld の論文で指摘されていい如く、傾斜が長く直線的である場合である。この場合には、最高点近傍が平坦になり最高点を定めにくく。しかもししこの傾斜部分だけをこの分布全体から切り出すことができればこの平均値を求めることによりこの困難を回避できる。

最後に、考えられ、また実際にあったこの分布の悪い場合は、連続的ではなく、かけはなれた二つのレベルでの極大点がほゞ同一の値を持つ場合が起り、不安定になることである。この原因は単純で上述のモデルで言えば平坦部の値は一定 m として正常な場合を想定し、 S_2 の分布が level d_1 と d_2 $d_1 > d_2$ が $r, 1-r$ の割合で発生するものとする。 d_1 は白地レベルの 0 とするとき、 d_1 での D^+ と m での D^+ の値が等しくなる条件は次の如く $m < 2d$ で与えられる。要するに傾斜部にむらがあれば、この現象は起り得るのであり、実際にボールペンのデータでこれが発見された。この実際のデータは上述のモデルと良く合っている。

§7.3 ラフラシアン濃度分布

この悪い場合は必ず次の如く構成される。すなわちステップ毎に高さの異なる階段を考へる。各段のレベルを m_i とするとき $(m_{i+1} - m_i) = (m_i - m_{i-1}) - C$ のとき、 m_i レベル点でラフラシアンが等しくなる。こゝで $C > 0$ のとき、頂上がなめらか、 $C > 0$ のとき急峻となる。ともかくこの様な場合には分布はがたとなる。

次に最初のモデルで平坦部が L ケに分割され、それを m_i とする。それぞれが対応する S_2 領域で値 d_i を持つとする。 S_3 領域は無し。このとき、 $m_i - d_i = C$ とすれば各 m_i レベル点でラフラシアンの値は等しくなる。一方 S 領域では上述

の漸化式を適応すれば、各レベル点でもラプラシアンが等しくなる様に構成できる。この様に各濃度レベル点でのラプラシアンが等しいとこの時はきつた条件下で、これによりラプラシアンの調整を不能にしてしまう。実際の例ではボールペンのデータが5ヶ見られたが、これはラプラシアン最大値の30%以上を持つ点の分布で谷がないことと、これを50%または60%にすると谷が出る。しかし点の数が少なくて不安定であり、かつデータにより谷の出る%が異なるのも問題である。また画像データでは64 levelでは、分布はかなりのがたつきが見られるが、これは上述の議論から予想されるものである。

5.7.4 極平坦分布

いままで述べてきた各分布の悪い場合について、この分布は谷を与える分布を持つが、しかし一方において次の様な場合に谷が消滅する。すなはち白地に傾斜部と同じ濃度を持つノイズが多く存在する場合である。傾斜部は極大でもなければ平坦でもないのと、この部分は分布がうねりこむに谷が現れるということがあるが、しかし白地の濃度分散が大きく、傾斜部にある中間レベルが白地に多く存在すれば、これが極大、平坦として数えられて谷が消滅する。実際、ボールペンのデータがこの様なデータが3ヶ見られた。

一方、傾斜分布はこの様なノイズには一切影響を受けないが、単なる濃度分布、微分分布、ラプラシアン分布ではこの種のノイズには不利である。次に述べる連結評価法では、この様なノイズがランダムであれば影響を受けない。しかし単純な滑らかな形を持つては影響を受ける。

5.7.5 連結評価法

この方法の問題点は閾値'0'に singularity が存在することである。一般にこの方は1の数を A とするとき適當な δ, δ'

$$\delta = \frac{A - \delta}{A + \delta'} \quad \delta, \delta' > 0$$

の如く表わせる。明らかに閾値=0では $A \rightarrow R \times R, \delta' \rightarrow 0, \delta \rightarrow \infty$ ではほとんど1になつて最大の評価値を得ることになる。閾値'0'はしかし、ある意味では trial case として除外して考えられるが、'0'の近くで、上述のようなことが起り得る。たとえば、輪郭が滑らかで大きな平盤な汚みノイズが白地にあつた場合、これを'1'とした方が評価値は高い。しかしながら、この汚みは形として評価され得るものであり、物理的なものではなく、形による評価によるこの方法では、ある意味では当然の結果である。

あとがき 一般にパターン認識の研究というのは、研究者それぞれの手法、アーティアは非常に良く発表されているが、それが他の手法との間に関係があり、それで比較してどうなのかという非常に重要な点が欠けるくらいがあった。しかも使っているデータも異なつていいのが普通なので、両者が共通の土俵で議論される事が少ないのが現状である。この様な現状に対し、この論文がいくらかでも役立てば筆者の幸いとするところであり、これを契機として多くの議論の起ることを期待するのである。

謝辞 この研究は通産省工業技術院のパターン大型プロジェクトによるものであり、西野部長はじめとして関係諸氏に深く感謝する所だ。また東芝総研の森健一氏、渡辺貞一氏に有益な御討論をいただいたところ、また同様に图形

処理研の田村、山本、山田の諸氏に深く感謝するしだいです。最後にプログラムの作成、データ整理をしていただいた小関光子さん、JCAの堂君に深く感謝するしだいです。

文獻

- [1] M.R.Bartz "The IBM 1975 Optical Page Reader, Part III: Video Thresholding System" IBM J.Res. Develop. pp354-363, September, 1968
 - [2] J.M.S.Prewitt and M.L.Mendelsohn "The Analysis of Cell Images" Ann N.Y.Acad.Sci., Vol.128, pp1035-1053, 1966
 - [3] T.Sakai, M.Nagao and S.Fujibayashi "Line Extraction and Pattern Detection in a Photograph" Pattern Recognition, Vol.1, pp233-248, 1969
 - [4] S.Watanabe "An Automated Apparatus for Cancer Prescreening: CYBEST" Computer Graphics and Image Processing Vol.3, pp350-358, 1974
 - [5] J.S.Weszka, R.N.Nagal and A.Rosenfeld "A Threshold Selection Technique" IEEE Transactions on Computers, pp1322-1326, December, 1974
 - [6] 河田勉, 麻田治男, 渡辺貞一, 森健一 "濃淡图形量化の一手法" 電子通信学会1974研究会資料 PRL 74-41, PP 23-34, 1974
 - [7] 大津辰之 "濃度分布からの閾値決定法" 電子通信学会情報部門会合大会(昭52)
 - [8] 森信一, 小川光子, 原直久 "二値化・閾値決定法" 電子技術研究会全国大会報告書 第一回情報部門

附録 ラジオラシアン濃度分布で谷の出にくひサンゴ礁とそのヒストограм

No. 30	1	2	3	4	5	6	7		No. 34	1	2	3	4	5	6	7
0	155	818	715	79	19	0	20%		0	159	545	403	73	32	0	20%
0	121	510	586	66	19	0	30%		0	108	300	331	60	31	0	30%
0	41	174	260	29	29	19	40%		0	66	160	278	52	31	0	40%
0	23	69	152	15	19	0	50%		0	29	80	208	39	29	0	50%
0	2	0	11	0	5	0	60%		0	7	14	62	8	23	0	60%
									0	2	0	2	0	3	0	70%